

전력용 슬리브 개발을 위한 동과 알루미늄의 마찰용접에 관한 연구

오세규*, 최진호**, 장지훈***, 오명석****

Study on Friction Welding of Copper to Aluminium for Developing Electrical Sleeve

Sae-kyoo Oh*, Jin-ho Choi**, Ji-hoon Jang***, Myung-suk Oh****

Key words : Friction welding(마찰용접), Acoustic emission technique(음향방출법), Weld quality(용접 품질), Weld condition(용접 조건), Optimization(최적화), Weld strength(용접부 강도), Joint efficiency(이음효율), Nondestructive evaluation(비파괴적 평가)

Abstract

A study on optimizing the friction welding of copper(C1100) to aluminium(A1050) for developing the electrical sleeve was experimentally carried out and also on real-time nondestructive evaluation of the friction weld quality(strength) was accomplished by acoustic emission technique.

The results obtained are summarized as the following ;

- 1) The heating upset U_1 (mm) or total upset U (mm) tends to increase according to the increase of heating time t_1 (sec). The relations between U_1 and t_1 or U and t_1 are computed as follows when $n=2000$ rpm, $P_1=4$, $P_2=8$ kgf/mm², and $t_2=6$ sec

$$U = 1.6 e^{0.39t_1}$$

$$U_1 = 3.65 e^{0.25t_1}$$
- 2) It was notified that the proper welding conditions by considering on both strength with more than 100% joint efficiency and toughness are heating time of 1.5~2.25 sec under $n=2000$ rpm, $P_1=4$, $P_2=8$ kgf/mm², $t_2=6$ sec.
- 3) It was confirmed that both AE total counts(N , counts) and the weld tensile strength(σ , kgf/mm²) of the welded joints increase as the increase of heating time, respectively, the relations between N and t_1 , σ and t_1 are computed from data points by regression analysis using the least square method as follows in case of the above proper condition ;

* 부산수산대학교 공과대학

** 한독 부산직업훈련원

*** 부산수산대학교 대학원

**** 부산공업대학

$$N = 50108 + 23917(\ln t_1)$$

$$\sigma = 11.85 + 2.06(\ln t_1)$$

- 4) Both empirical and calcurated equations of relationship between σ and N are very coincident with a high reliability, as the following in case of the above proper welding condition ;

$$\text{Calculated : } \sigma = 0.00008 N + 7.5$$

$$\text{Empirical : } \sigma = 8.17e^{0.0000072N}$$

- 5) It was confirmed that the real - time nondestructive weld strength evaluation for friction welding of copper(C1100) to aluminium(A1050) could be possible by acoustic emission technique.

1. 서 론

마찰용접법은 다른 용접법에 비해 기계적인 면과 경제적인 면에서 많은 잇점을 지니고 있어, 일반 산업기계, 방위 산업기계, 우주 항공기계, 자동차 engine, 선박 등의 부품생산에 이용되며 특히, 동종 및 이종재료의 접합¹⁾을 가능케 하였다.

한편, 송전선과 배전선은 Cu선과 Al선이 전기적으로 접속되어 현재 사용되고 있는데, 선과 선의 연결부에 Cu슬리브 또는 Al슬리브가 접속되어 컴파운드(compound)의 재재에 의한 전기부식을 방지하고 장기적 안전성을 유지할 수 있다.⁴⁾

이론적으로 동종재료를 접속하면 신뢰성이 높고 이상적이라 할 수 있을 것이다. 그러나, Cu선과 Cu슬리브, Al선과 Al슬리브 접속이 가능하도록 이종재료이지만 Cu봉과 Al봉을 결합시키는 슬리브를 개발할 필요성이 있으므로, 여기에 마찰용접법을 적용시키고자 한다.

본 연구는 전력용 슬리브 개발을 위한 기초 자료가 되게 한 것으로서, 현재 상품화 되어있는 슬리브로는 분기형(H), 죠인트형, 보수형 등이 있는데 이들은 Cu혹은 Al슬리브로 되어있다.

선진국에서는 Cu와 Al을 접합하여 사용하고 있으며, 또한 이러한 연구도 활발히 진행되고 있다.⁴⁾

본 연구에서는 이들 이종재료(Cu - Al)를 마찰용접을 한 후 인장강도시험, 인성시험, 용접조건과 강도 및 AE량과의 상관성조사, 용접부강도와 AE량과의 상관성조사 등을 수행하였다. 또한 시간의 변화에 따른 업셋량과의 관계를 조사하였고, 마찰용접 조건의 최적여부를 검토하였으며, 마찰용접부의 품질(강도)에 관해 AE에 의해 실시간에 비파괴적으로 정량적 평가가 가능하도록 연구한 것이며^{5~9)}, 본 연구의 결과가 전력용 슬리브의 국산화 개발을 위한 기초자료가 되게 하였다.

2. 시험편 및 실험방법

본 실험에서 사용된 시험편의 재료는 대체로 마찰용접성이 우수하고, 산업현장에서 실용화되고 있는 재료들로 Cu(C1100)와 Al(A1050)이며, 그 화학적 성분은 Table 1과 같고, 기계적 성질은 Table 2와 같다.

마찰용접을 위한 시험편은 Fig.1(a)와 같이 범용선반(화천 SW 380mm)에서 선삭가공 한 후 마찰용접기(TH - 25 continuous drive brake type friction welding machine)에서 마찰용접을 하였고, 인장시험편 가공은 Fig.1(b)와 같이 KSB 0801의 규정에 의하여 평행부 지름 $\phi 28$ mm, 표점거리

Table 1 Chemical composition of test materials(wt%)

Materials	Si	Fe	Cu	Mn	Mg	Zn	Ti	Al
C1100	—	—	99.92	—	—	—	—	—
A1050	0.25	0.4	0.05	0.05	0.05	0.05	0.03	99.12

Table 2 Mechanical properties of base materials

Materials	Tensile strength σ (kgf/mm ²)	Elongation ϵ (%)	Reduction of area ϕ (%)
C1100	21	38	33
A1050	12	28	7

60 mm로 일정하게 하였고, Al부의 슬립을 방지하기 위해 M30×2.5로 나사가공을 하였다.

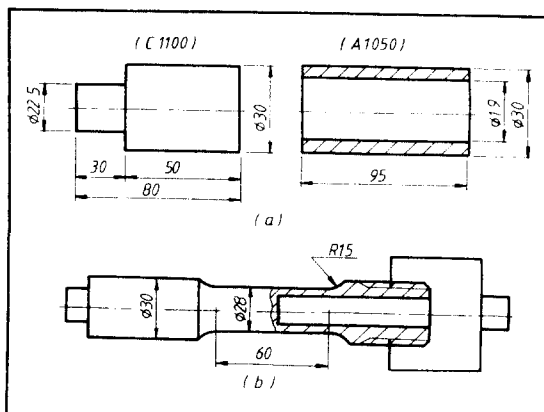
표면거리(평행부) 표면가공은 거칠기 영향을 최소화하기 위해 원통연삭기(TG6 27 200×500)에서 하였으며, 인장시험은 인장시험기(Toyo Baldwin UTM 25T)로 인장하였고, 인장속도는 1 mm/min으로 하였다.

3. 결과 및 고찰

3-1 마찰용접 시험의 결과

3-1-1 마찰용접 조건

본 실험에 사용된 시험편의 최적 마찰용접조건을 결정하기 위하여 Fig.1(a)와 같이 가공한 시험편을 회전수(n)=2000 rpm, 마찰가열압력(P_1)=4 kgf/mm²(39.2 MPa), 업셋압력(P_2)=8 kgf/mm²(78.3 MPa)로 일정하게 유지하여 가열시간(t_1)과 업셋시간(t_2)을 Table 3과 같이 변화시키면서 마찰용접을 수행하였다.



(a) Welding and AE test workpieces
(b) Tension test specimen of friction welded joint and tensile absorption energy

Fig. 1 Spade and dimension of specimens**Table 3 Friction welding conditions**

Welding material	Rotating speed n (rpm)	Heating pressure P ₁ (kgf/mm ²)	Upsetting pressure P ₂ (kgf/mm ²)	Heating time t ₁ (sec)	Upsetting time t ₂ (sec)
A1050 to C1100	2000	4	8	0.25~3	6

3 1 2 마찰용접 조건 간의 상관성

정적 마찰용접 조건을 결정하기 위해 Table 3의 조건대로 용접을 하였을 때, 가열업셋 U₁(mm)과 가열시간 t₁(sec), 총 업셋 U(mm)와의 상관관계 조사 결과는 Fig.2와 같다.

Fig.2에서 가열시간 t₁의 증가에 대한 총 업셋량 U와 가열업셋량 U₁은 모두 증가하는 경향을 나타내고 있다.

이때 가열시간 t₁과 업셋량 U₁, U와의 관계에 대한 전산식은 다음과 같다.

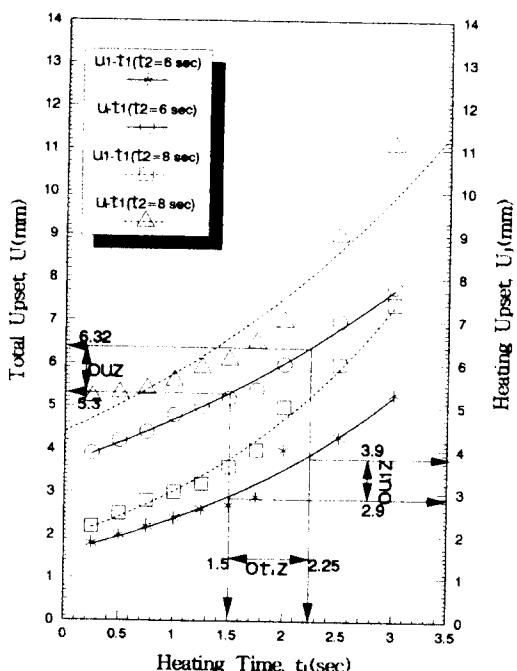


Fig. 2 Relation between total upset and heating time in friction welding of C1100 to A1050
Welding condition : $n = 2000$ rpm, $P_1 = 4$ kgf/mm², $t_1 = 0.25 \sim 3$ sec, $P_2 = 8$ kgf/mm², $t_2 = 6 \sim 8$ sec

$t_2 = 6 \text{ sec}$:

$$U = 1.6 e^{0.39t}, \quad (1)$$

$$U_1 = 3.65 e^{0.25t}, \quad (2)$$

 $t_2 = 8 \text{ sec}$:

$$U = 1.95 e^{0.44t}, \quad (3)$$

$$U_1 = 4.4 e^{0.25t}, \quad (4)$$

또, t_2 에 관한 두 조건($t_2=6$, $t_2=8$)을 비교했을 때 8 sec일 때가 업셋량이 더욱 많이 발생함을 알 수 있다.

각각의 식에 대한 신뢰도를 확인하기 위하여 기여도(R-square, coefficient of determination)를 구해보면 $R^2=0.97$, 0.99, 0.98, 0.91로 나타남을 알 수 있으며, 이는 매우 신뢰도가 높음을 말해 주고 있다.⁵⁾

Fig.2와 식(1), (2)에서 Ot_1Z (optimum t_1 zone)=1.5~2.25sec에서 $U_1=2.9\sim3.9 \text{ mm}^2$ 이고 $U=5.3\sim6.32 \text{ mm}^2$ 범위가 최적임이 실험적으로 확인될 수가 있다.

3-2 마찰가열 시간과 용접부 인장강도 와의 상관성

인장시험은 Table 3의 압접조건 하에서 마찰용접한 것을 Fig.1(b)와 같이 가공하여 실험하였고, 용접시험편의 인장강도와 가열시간 $t_1(\text{sec})$ 을 변화시키면서 $t_2=6$, 8 sec의 조건에 따라 실험한 결과는 Fig.3과 같다.

Fig.3에서 용접부의 인장강도가 t_1 의 증가에 따라 다소 증가하는 경향이 있고, 가열시간 t_1 이 과도하면 인장강도가 과열에 의하여 다소 낮아짐을 알 수 있다. 그리고 $t_2=6 \text{ sec}$ 일 때가 $t_2=8 \text{ sec}$ 일 때보다 인장강도가 높음을 알 수 있다. 이들 조건 중 모재보다 높은 인장강도를 나타내고 이음효율이 100% 이상인 경우는 $Ot_1Z=1.5\sim2.25 \text{ sec}$ 로서 이 경우가 가장 적정한 용접조건이라고 생각된다. 즉, $n=2,000 \text{ rpm}$, $P_1=4 \text{ kgf/mm}^2$, $P_2=8 \text{ kgf/mm}^2$, $t_2=6 \text{ sec}$ 일 때 $t_1=1.5\sim2.25 \text{ sec}$ 이다.

인장강도 $\sigma \text{ kgf/mm}^2$ 와 가열시간 $t_1 \text{ sec}$ 간의 관계에 대해 전산화된 식은 다음과 같다.

 $t_2=6 \text{ sec}$:

$$\sigma=11.85+2.06(\ln t_1) \quad (R^2=0.98) \quad (5)$$

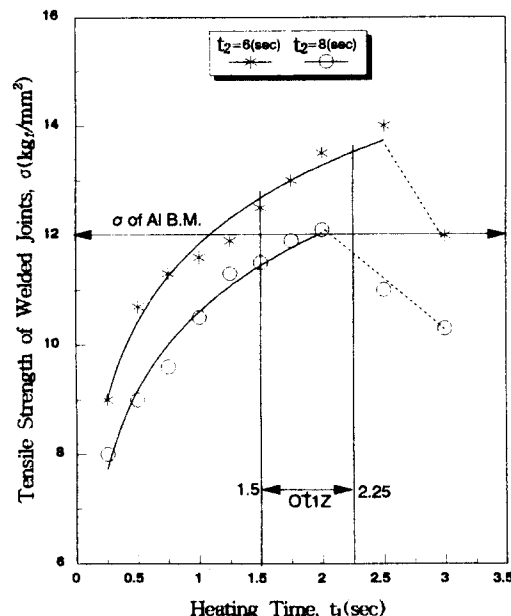


Fig. 3 Relation between heating time and tensile strength for the welded joints of C1100 to A1050

Welding condition : as in Table 3

 $t_2=8 \text{ sec}$:

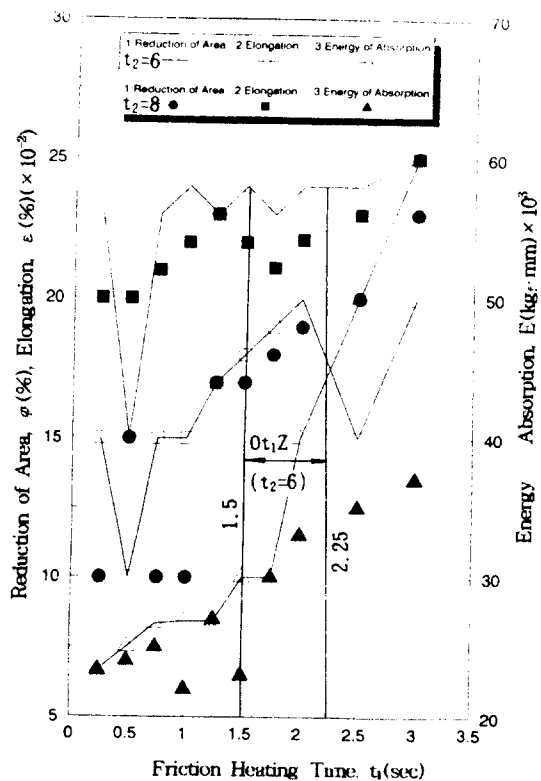
$$\sigma=10.61+2.087(\ln t_1) \quad (R^2=0.97) \quad (6)$$

이때 R^2 는 매우 높아 실험식의 신뢰성 역시 매우 높음을 나타내고 있다.

3-3 용접부 인성과 마찰가열 시간과의 상관성

Fig.4는 마찰용접재의 인장 흡수에너지 $E(\text{kgr} \cdot \text{mm})$, 인장연신율 $\epsilon(\%)$, 단면수축율 $\phi(\%)$ 등과 용접조건(t_1)과의 상관성을 실험적으로 구한 결과를 나타낸다.

과단은 Al측 모재에서 일어났으며, 이음효율 100% 이상에 해당하는 최적조건의 범위 ($Ot_1Z=1.5\sim2.25 \text{ sec}$)에서 연신율, 단면수축율의 연성과 인장 흡수에너지의 인성면에서 볼 때 문제점을 발견하지 못했으며, 양호한 적정조건이라고 생각된다.



3-4 마찰용접 조건과 AE총량과의 상관성

마찰가열시간 t_1 과 AE총량(total AE counts) N과의 관계는 Fig.5와 같이 실험적으로 나타내어진다.

$t_2=6$ sec일 때가 8 sec일 때보다 전체적으로 AE량이 적게 나타나고 있는데, 이것은 상기 접합시 $t_2=8$ sec일 때가 재료의 소성거동이 많이 발생하고 있음을 말해준다.

t_1 이 증가함에 따라 AE총량은 증가하고 있음을 알 수 있다.

t_1 과 N과의 관계를 회귀해석법에 의하여 전산화한 식은 다음과 같다.

$t_2=6$ sec :

$$N = 50108 + 23917 (\ln t_1) \quad (7)$$

$t_2=8$ sec :

$$N = 61936 + 15914 (\ln t_1) \quad (8)$$

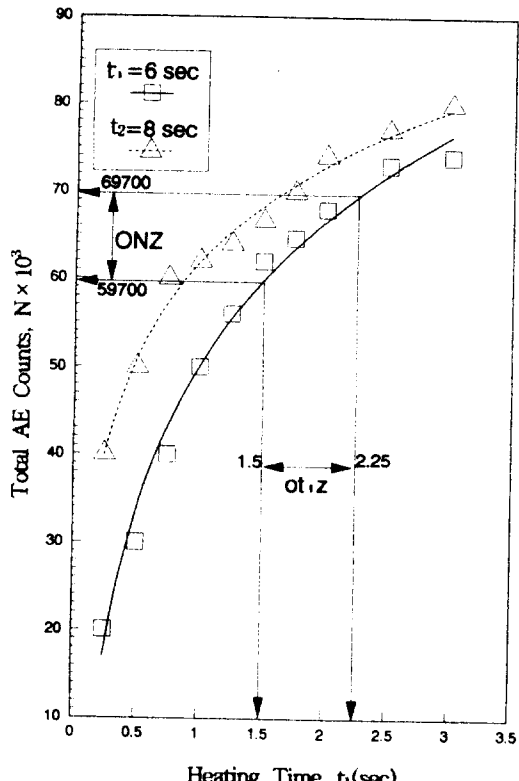


Fig. 5 Total AE count versus heating time(t_1), in friction welding of C1100 to A1050 bars
Welding condition : as in Table 3

Fig.5와식(7)에서 Fig.3의 $Ot_1Z = 1.5 \sim 2.25$ sec인 경우의 ONZ(optimum AE count zone)는 59700~69700임을 확인할 수 있다.

3-5 용접조건, 강도, AE와의 상관성

$n=2,000$ rpm, $P_1=4$ kgf/mm², $P_2=8$ kgf/mm²의 용접조건에서 t_2 가 6 sec와 8 sec일 때, t_1 을 변경시켜 각각 실험하였다. 그 결과는 Fig.6과 같이 나타낼 수 있다.

총 AE량 N(count)이 증가할수록 인장강도 σ (kgf/mm²)는 증가하고 있으며, $t_2=6$ sec인 경우가 같은 AE count량에 대해서 인장강도가 더욱 높음을 알 수 있다.

σ -N의 관계에 대해 전산화된 식은 다음과 같다.

$t_2=6$ sec :

$$\sigma = 8.17 e^{0.0000072N} \quad (9)$$

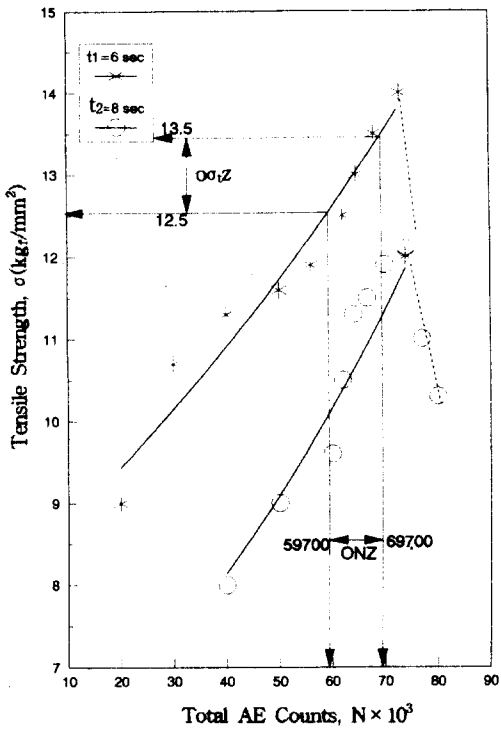


Fig. 6 Empirical σ vs. N in friction welding of C1100 to A1050
Welding cond. : $n = 2000$ rpm, $P_1 = 4$, $P_2 = 8$ kgf/mm², $t_1 = 0.25 \sim 3$ sec, $t_2 = 6, 8$ sec

$t_2 = 8$ sec :

$$\sigma = 5.23 e^{0.0000110N} \quad (10)$$

Fig. 6과 식(9)에서 알 수 있듯이, Fig. 5에서 도출한 $ONZ = 59700 \sim 69700$ counts에서의 $\sigma - Z$ 는 $12.5 \sim 13.5$ kgf/mm²로서 이음효율 100% 이상인 경우를 나타낸다.

3-6 마찰용접의 최적화와 AE에 의한 품질의 실시간 평가에 관한 고찰

마찰용접 강도와 품질의 실시간 평가를 통한 제품 신뢰성 향상법은 일반 비파괴 검사 개념과는 다르다.⁵⁾

AE에 의해 균열등의 결함을 찾는 것이 아니고, 마찰용접이 마찰가열, 가압에 의한 금속의 대 소성 변형을 유발하여 압접에 의해 수행되기 때문에 이

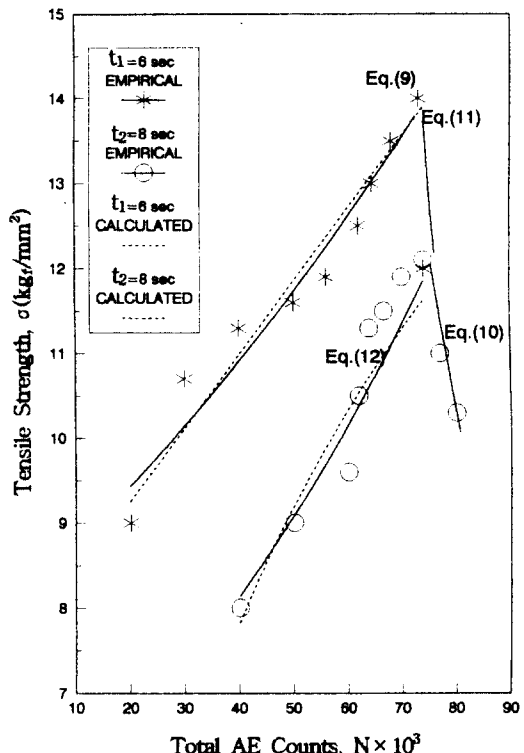


Fig. 7 Empirical and calculated relation comparison for σ vs. N in friction welding of C1100 to A1050

Welding cond. : $n = 2000$ rpm, $P_1 = 4$, $P_2 = 8$ kgf/mm², $t_1 = 0.25 \sim 3$ sec, $t_2 = 6, 8$ sec

때의 가열압, 가열시간, 단조가압력, 가압시간, 회전수 등과 함께 용접부 강도와 품질이 상관성이 있듯이 용접부에서 발생된 AE총량도 용접조건이나 용접부 강도와 품질에 정량적 상관성이 있음이 실험적으로 입증⁷⁾되었기 때문에 용접 중에 발생하는 AE 총 누적량(cumulative AE count)으로 실시간에 용접부 품질(강도)을 평가하는 기술이 가능하게 되었다.^{8,9)}

또한, 마찰용접에서 용접조건인 회전수(rpm)나, 가열, 가압력 및 업셋량이나 용접시간 t_1 , t_2 설정에 의존하는 것은 소재 자체의 물성치와 형상치수의 오차를 고려치 않은 문제점이 있기 때문에, 먼저 가열시간 t_1 을 설정한 후 마찰용접 중의 품질 특성을 AE 량에 의해 측정하여 품질제어하는 것이 훨씬 합리적이고 더욱 완전에 접근한 것이라고 생각된다.⁶⁻⁹⁾

본 연구의 마찰용접 실험에서 용접조건 $P_1=4 \text{ kgf/mm}^2$, $P_2=8 \text{ kgf/mm}^2$ 에 대한 $\sigma - t_1$ 의 실험식(5), (6)과 $N - t_1$ 실험식(7), (8)을 연립해서 t_1 을 소거시키면 다음과 같은 $\sigma - N$ 관계 계산식이 도출된다.

$$t_2=6 \text{ sec}$$

$$\sigma=0.00008N+7.5 \quad (11)$$

$$t_2=8 \text{ sec}$$

$$\sigma=0.00013N+9.8 \quad (12)$$

Fig.7은 σ 와 N 의 계산식과 실험식을 비교하여 신뢰성을 비교한 것으로 실험식과 계산식이 거의 일치함을 알 수 있다.

4. 결 론

전력용 슬리브 개발을 위한 C1100과 A1050과의 이종 마찰용접 적정조건을 결정하기 위한 실험과 용접부의 강도(품질)를 AE에 의해 실시간에 비파괴 검출하는 실험에서 얻은 결론은 다음과 같이 요약할 수 있다.

1) 가열시간 t_1 에 따라 가열 업셋량 U_1 은 증가하는 경향이 있다. 이들의 전산화된 식은 다음과 같다.

$$U=1.6 e^{0.39t_1}$$

$$U_1=3.65 e^{0.25t_1}$$

2) 용접부의 이음효율이 100%이상인 경우, 인성을 고려한 적정 용접조건은 $n=2000 \text{ rpm}$, $P_1=4 \text{ kgf/mm}^2$, $P_2=8 \text{ kgf/mm}^2$, $t_2=6 \text{ sec}$ 일 때 $t_1=1.5 \sim 2.25 \text{ sec}$ 임이 확인되었다.

3) 가열시간 t_1 과 total AE count량 N 및 용접부 강도 σ 의 관계에서 t_1 의 증가에 따라 N 이나 σ 가 증가함을 알 수 있고, 상기 적정 조건하의 경우 회귀해석법에 의한 전산화된 식은 각각 다음과 같다.

$$N=50108+23917(\ln t_1)$$

$$\sigma=11.85+2.06(\ln t_1)$$

4) 상기 적정 조건하에서 σ 와 N 의 계산식과 실험식은 각각 다음과 같고, 이들은 매우 일치한다.

$$(계산식) \sigma=0.00008N+7.5$$

$$(실험식) \sigma=8.17 e^{0.0000072N}$$

5) AE에 의해 C1100과 A1050의 마찰용접부의 강도(품질)를 실시간에 비파괴적으로 평가 할 수 있음이 확인되었다.

참고문헌

- 1) Gelfisman, E.Y. and M.D. Temirov(1965) : The friction welding of marine engine valves. J.Auto weld. 18, p. 55 - 58
- 2) Vill.V.I.(1962) : Friction welding of metals. svarohnoe proizvodstvo, 3. p. 19 - 23.
- 3) Oh,S.K.(1974) : Study on friction welding of valve materials SUH3 SUH31, J.Korean soc. Mech.Engr.,14, p. 221 - 232
- 4) 竜子・次男：マ찰接合法の電力用スリーブへの應用, 日本ベーネディ(株)
- 5) Oh, S.K.(1982) : Study on strength analysis of friction welded joints and in-process monitoring of the welding using acoustic emission techniques. Ph. D. Thesis, Keio University, Japan, p. 147 - 314
- 6) Oh, S.K. and K. K. Wang(1983) : Effect of welding parameter on weld strength and acoustic emission in friction weld. J. of Korean Soc. of Marine Engineers. 7(1), p. 23 - 33.
- 7) Oh, S.K.(1983) : Quantitative analysis of friction weld strength by acoustic emission, Transactions of KSME, 7(2), p. 226 - 232.
- 8) 岩田泰(1982) : 어쿠스틱 에미션법에 의한 摩擦接合強度解析(1), 대한기계학회지, 22(3), p. 184 - 190
- 9) 오세규, 임우조, 김형자(1985) : 마찰용접기계의 자동생산 품질제어 실시간 평가, 대한기계학회 논문집, 9(6), p. 757 - 766